



珠穆朗瑪峰地區
科學考察報告

1966—1968

自然地理

科学出版社

珠穆朗瑪峰地區 科學考察報告

1966—1968

自然地理

中国科学院西藏科学考察队

科学出版社

1975

内 容 简 介

《珠穆朗玛峰地区科学考察报告》是中国科学院组织的西藏科学考察队于1966—1968年间在我国西藏自治区珠峰地区进行的综合考察工作总结，是无产阶级文化大革命期间的科研成果。《报告》按地质、古生物(第一、二、三册)、第四纪地质(包括新构造)、自然地理、现代冰川与地貌、生物与高山生理、气象与太阳辐射等专题分册出版。

本书汇编了十篇自然地理方面的论文，分别对珠峰地区的气候、植被、表生地球化学和土壤等基本特征问题作了阐述，并对考察地区的自然分带进行较全面的综述，进而提出自己的分带系统。本书初步揭示了珠峰地区自然分带的形成和发展规律，同时对今后进一步了解和研究世界第一高峰的自然地理过程提供了重要的科学依据和资料。

珠穆朗玛峰地区科学考察报告

(1966—1968)

自然 地 球

中国科学院西藏科学考察队

*

科学出版社 出版

北京朝阳门内大街 137 号

中国科学院印刷厂 印刷

新华书店北京发行所发行 各地新华书店经售

*

1975年4月第一 版 开本：787×1092 1/16

1975年4月第一次印刷 印张：12 7/8

印数：报精 1—3,950 插页：精 20, 平 19

报平 1—1,730 字数：292,000

统一书号：13031·229

本社书号：379·13—13

定 价：精装本 3.10 元
平装本 2.30 元

前　　言

中国科学院西藏科学考察队于1966—1968年对珠穆朗玛峰地区进行了考察，第二专题组（自然地理和生物方面）以自然分带问题为重点，所涉及的专业有自然地理、气候、地貌、动物、植物、土壤和表生地球化学等。考察中各学科除进行专业性调查和标本采集外，更重要的是对自然分带问题予以综合考察。本书汇编了十篇论文，其中九篇除对本学科研究对象在本区的基本特征进行讨论外，均联系到自然分带问题。最后一篇“珠穆朗玛峰地区的自然分带”则对本区自然分带问题，作了比较全面综合的阐述。

珠穆朗玛峰地区自然地理的垂直和水平的变异十分复杂。从白雪皑皑、冰河四射的山峰，随着海拔高度的降低，自然景色呈现规律性的带状变化。在喜马拉雅山脉的南翼我国境内可分为八个带，在北翼则有四个带。在面积辽阔的考察范围内，随着地理位置和地形的不同，各个垂直带的气候、地貌、植被和土壤等要素及其相互关系又产生水平和局部的差异。

本区的自然分带通过植被分带给人以鲜明的印象。综合考察的资料说明，在整体上与植被分带相适应，气候、土壤、表生地球化学及动物等，亦呈规律性的带状变化，反映它们之间的相互联系和相互制约的辩证关系。由于喜马拉雅山地区所处的地理位置和地形的特征，其南、北翼自然分带带谱的性质曾引起许多争论，特别是对南翼。“珠穆朗玛峰地区的植被垂直分带及其与水平地带的关系问题”一文对此进行了讨论，对南翼属于热带山地的性质，予以肯定。“珠穆朗玛峰地区的自然分带”一文在探讨气候、植被与土壤分带的相互关系的基础上，提出了本地区自然分带规律图式，初步地对本地区复杂的自然分带现象，进行了理论上的概括。土壤和表生地球化学等方面的工作，阐明了本区的成土过程、过渡元素和粘土矿物的分布特征及若干元素的迁移规律的分带性及其与生物、气候条件间的关系。

珠穆朗玛峰地区自然分带的形成及其发展是非常复杂的，这不仅由于现代高山环境的特殊性和多样性，而且因为喜马拉雅山脉持续的上升运动和第四纪以来气候变化的历史对本区自然界有深刻的影响。考察中各专业对这个问题均有不同程度的注意，许多资料表明，自然地理各要素间若干不协调现象的产生，除各要素本身的特殊性外，亦反映地壳上升的影响。土壤微形态的工作在这方面，获得了较多的资料。全面而深刻地揭示本区的自然地理过程和区域分异规律，不但在理论上而且在今后合理的开发、利用和改造喜马拉雅山区的实践中都有重要的意义。目前的工作，仅仅是开始，由于考察时间短和水平所限，错误在所难免，希望读者批评指正。

目 录

前言

珠穆朗玛峰地区自然带气候特征.....	1
珠穆朗玛峰地区的植被垂直分布及其与水平地带关系的初步研究.....	16
珠穆朗玛峰地区土壤地理分布特点.....	30
珠穆朗玛峰地区南侧的山地森林土壤.....	41
珠穆朗玛峰地区土壤的粘土矿物.....	57
珠穆朗玛峰地区土壤的微量元素.....	71
珠穆朗玛峰地区土壤微形态与自然地理条件.....	83
珠穆朗玛峰地区水化学特征.....	102
珠穆朗玛峰地区过渡元素的表生地球化学特征.....	124
珠穆朗玛峰地区的自然分带.....	147

珠穆朗玛峰地区自然带气候特征*

执笔人：郑 度

(中国科学院地理研究所)

珠穆朗玛峰地区位于我国青藏高原南部、喜马拉雅山脉的中段。本文讨论范围东起亚东，西至吉隆，南达国界，北及藏南分水岭，约介于北纬 $27^{\circ}18'$ — $29^{\circ}00'$ ，东经 $85^{\circ}06'$ — $89^{\circ}20'$ 之间。

解放前，本地区的气候资料很少，多限于历次登山的零星记录。解放后，随着社会主义建设的发展，气象站的建立，逐渐积累了一些宝贵的气候资料。徐近之汇编并简述了本区的气候概况；杨鉴初等论述了西藏高原地带气候的特点并对青藏地区做了气候区划；中国珠穆朗玛峰登山队、科学考察队和中国科学院西藏科学考察队也分别在工作中讨论了本地区的气候特点¹⁾。在邻近的喜马拉雅山区的自然地理工作中，对这里的气候条件及其与自然带的关系也都予以一定的重视^[1-3]。

这些工作有助于我们认识珠峰地区的气候特点，其中一些结论现在仍有较大价值。

上述工作因涉及地域范围较大或受条件限制，对珠峰地区的垂直气候带讨论较少。为了进一步认识本地区南、北两翼的区域分异和自然带的垂直变化，本文根据有关气象资料，1966—1968年考察期间的野外小气候观测及调查访问，从自然带与气候条件的关系出发，对珠峰地区自然带的气候特征作初步的分析和讨论。

一、气候特点和南、北翼的区域分异

珠峰地区山体巨大，地势高亢，高原面海拔达4000—5000米，气候条件与东部同纬度低地迥然不同，而作用于本地区的大气环流和喜马拉雅山脉的屏障又使南、北两翼产生明显的区域分异。

由于近代地质时期本区地壳的大幅度抬升，整个山体占据对流层 $1/3$ — $1/2$ 的高度，使这里具有太阳辐射强、日照丰富、气温日较差大、年较差小的特点，与我国东部同纬度低地有明显区别；而气温日较差及日照百分率冬大夏小的年变程也和东部低地不同（图1），

* 本文承中国科学院地理研究所丘宝剑同志审阅。野外协助小气候观测的有当地干部、战士戴时浓、赵敬英、张成新、何代华、杨开全同志以及本队第二专题组的许多同志。

1) 徐近之：青藏自然地理资料（气候部分），1959年。杨鉴初等：西藏高原气象学，1960年。王明业：珠穆朗玛峰地区自然地理概述，1962年。中国科学院西藏综合考察队：西藏的土壤，1970年。

形成独特的热量条件。

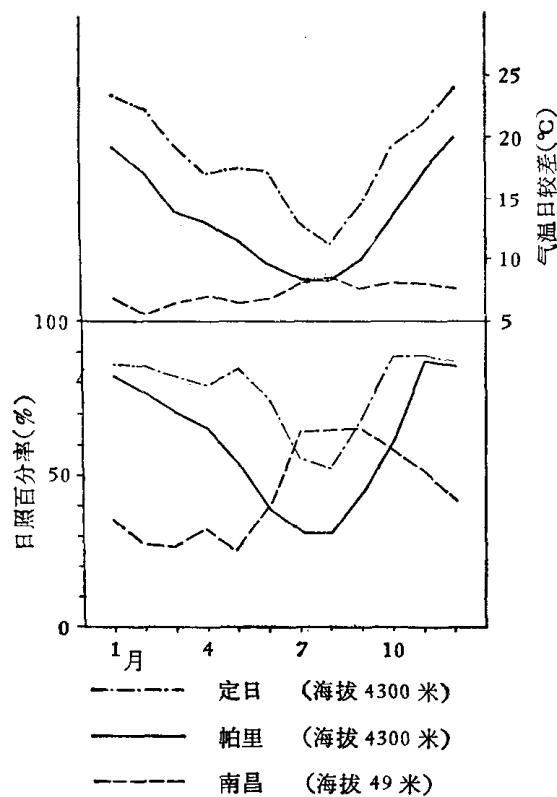


图 1 气温日较差(上)及日照百分率(下)
年变程对比

影响,这种季节划分因地区不同而有差异。

横亘在本地区南侧的喜马拉雅山脉中段,以珠穆朗玛峰、卓奥友峰、希夏邦马峰等八千米以上的山峰为主体,成为整个山脉的最高地段。与东南段喜马拉雅(湿润的)和西北段喜马拉雅(半干旱的)相比较,地形的屏障作用在这里表现得更为突出。迎向暖湿气流的南翼山地降水丰沛,气候比较湿润,发育着海洋性自然带谱;北翼高原湖盆则由于喜马拉雅山脉阻碍,输入的水汽较少,气候比较干旱,分布着大陆性自然带谱。

以海拔高度相同的北翼的定日和南翼的帕里为例,可以看出本地区南、北两翼的气候差异,如表 1 所列。

喜马拉雅山脉对暖湿气流的屏障作用,使山脉南、北翼的降水量有较大的差异。以 1959 年为例,珠峰南翼的昌利卡尔卡(尼泊尔境内,海拔 2700 米)年降水量 1840 毫米,南遮巴沙尔(尼泊尔境内,海拔 3400 米)为 1095 毫米¹⁾,而北翼的绒布寺(海拔 5000 米)仅有 325 毫米,定日亦只有 330 毫米²⁾。如以多年平均值相比较,则昌利卡尔卡年降水量为 2284 毫米,6—9 月降水占年降水量的 86%;其上的南遮巴沙尔为 939 毫米,6—9 月占

尽管珠峰地区占据 4000 米以上的海拔高度,但因处在高原南部,受南亚地区季风活动影响,气候表现出明显的季风特征,即冬半年为西风带所控制,夏半年受暖湿海洋气流的影响。

本地区因海拔高,气温较低,如按张宝堃所拟标准划分气候上的四季¹⁾,则高处全年属冬季,较低海拔处也无夏季。这里冬夏温差虽有冷暖之别,但其间过渡不明显,而可按水分状况的变化,大体划分为下列季节:

(1) 11—3 月为干季,也是冷季。高空西风占优势,空气干燥,晴而少雨,风力较强。

(2) 6—9 月为雨季,也是暖季。暖湿气流影响显著,多阴雨。

(3) 4—5 月和 10 月则为介于干季、雨季中间的过渡季节,以晴朗温和天气为主。

由于喜马拉雅主脉山体和局部地形的

1) 张宝堃(1941 年)以候平均气温在 10°C 以下为冬季,10—22°C 为春、秋季,22°C 以上为夏季。(见张宝堃:四川气候区域。气象学报,第 15 卷,第 3、4 合期,1941 年)。

2) 绒布寺与定日为 1959 年 4 月—1960 年 3 月资料,因 1—3 月处于干季,降水较少,故仍可作对比用。

表 1 定日、帕里气候要素比较

地点	海拔 (米)	平均气温(℃)			日均温≥5°C 持续期间			降 水			年蒸 发量 (毫米)	相对湿度 (%)		年 日 照	
		年	最热月	最冷月	日数	积温 (℃)	干燥 度 ¹⁾	年降水 日数	年降 水量 (毫米)	6—9月 降水量 占年量的 %		年平均	6—9月 平均	时数	百分率
定日	4,300	0.9	10.8	-9.3	137	1,274	0.92	62	225	96	2,319	45	63	3,393	77
帕里	4,300	-0.2	7.7	-8.8	114	817	0.44	172	387	77	1,520	66	81	2,575	59

注：除相对湿度与年日照为不同年代资料外，其余均为相同年代对比，即年蒸发量为1960—1964年，平均气温与降水为1960—1965年。

74%²⁾，而北翼的定日仅有225毫米，6—9月竟占年降水量的96%。一山之隔，差别极为悬殊。现以喜马拉雅山脉主脊线为界，将我国境内南、北翼的年降水量及季节分配对比于图2。

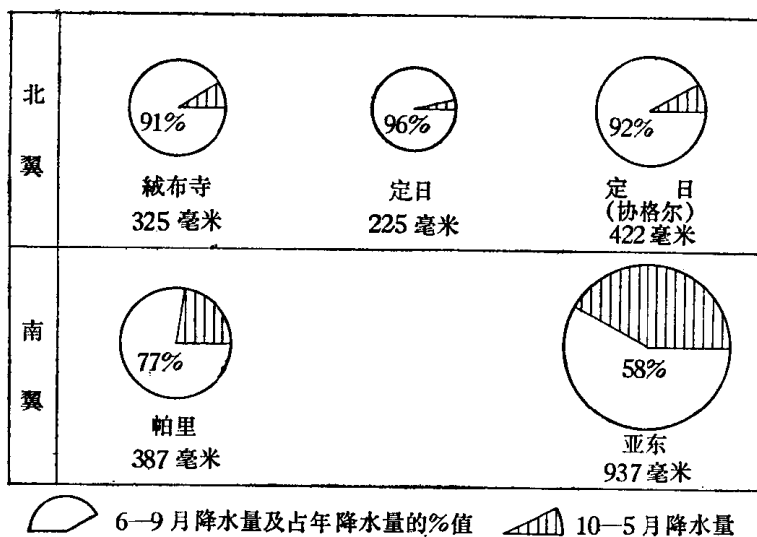


图2 珠峰地区南北两翼年降水量及季节分配

南、北两翼的分异还反映在日均温稳定通过5°C期间的干燥度上。我们对照本地区自然带类型的分布，以日均温≥5°C期间的干燥度为指标划分三种干湿类型：湿润型（干燥度0.19—0.37）、半湿润型（0.38—0.75）和半干旱型（0.76—1.50）³⁾。这样，南翼以湿润、半湿润型为主，北翼则多属半干旱型。因此，以喜马拉雅山脉主脊线为界，把珠峰地区划分成两个区，即：南翼湿润半湿润高山峡谷区与北翼半干旱高原湖盆区。

1) 干燥度 = $\frac{0.16 \times \Sigma t_i}{r_s}$ ，式中 Σt_i 为日均温≥5°C持续期间积温， r_s 为同期降水量。

2) O. N. Dhar, J. Narayanan: Indian Journal of Meteorology & Geophysics, Vol. 16, No. 2, 1965.

3) 据卢其尧等，对照植被与土壤分布认为青藏高寒区干湿的气候分界大体相当于干燥度=0.75；本文三种干湿类型的划分参照该文干湿期类型的划分指标，结合珠峰地区自然带特点而定。《中国干湿期与干湿区划的研究》地理学报，31卷1期，1965。

二、垂直气候带的划分

珠峰地区由于高差悬殊，气候的垂直变化十分明显。随着海拔高度不同而引起的地表上热量、水分状况的重新分配，成为自然带垂直分异的基础。因此，我们按照本地区自然带的特点及其与气候条件的关系来划分相应的垂直气候带。

属于湿润、半湿润类型的南翼高山峡谷区，河谷深切、相对高差大。在我国境内的很短距离内即从海拔 1600 多米的苍郁森林变化到海拔 5500 米以上终年冰雪的山峰。热量条件的不同成为决定自然带垂直分异的一个主要因素。

通常认为最热月平均气温 10℃ 的等温线大体上相当于山地森林的上限¹⁾。其下以乔木占优势，组成各种类型的森林，为山地带；其上覆盖着灌丛、草甸和垫状植被，属高山带。据测站和小气候观测²⁾资料推算，在波曲谷地樟木—聂拉木地区，最热月平均气温 10℃ 等温线约为海拔 3,830 米，与实际观测的平均森林上限 3900 米相近。但沿着沟谷向北，仍有小片糙皮桦林出现在更高海拔处，如聂拉木县城附近，大面积森林已消失，其东沟海拔 4000—4100 米处的阴坡还有糙皮桦林呈岛状分布，显然与局地小气候有关。

从森林上限往上，乔木植物被灌木所替代，以小叶杜鹃类灌丛和桧柏灌丛为主组成亚高山寒带灌丛草甸带，其上界 4,700 米，与最热月平均气温 6℃ 等温线的高程 4,670 米接近。更向高处，中生的杜鹃灌丛基本消失，而代之以耐寒的矮化成垫状的金腊梅灌丛和矮嵩草等组成的高山垫状植被和高山草甸。这一界线以上暖季中气温经常处于正负交替状况，成为高山寒冻带内出现反复融冻现象的基础。由于南翼降水较多，雪线偏低，约在海拔 5500—5600 米，雪线处最热月平均气温为 2℃ 左右。

自森林上限向下，冷季气温对自然带的垂直分异有较大的影响。樟木—聂拉木地区最冷月平均气温 0℃ 等温线的海拔高度为 3,180 米，相当于山地寒温带针叶林带的下界，其上由耐寒的西藏冷杉林组成暗针叶林，往下则为山地暖温带针阔叶混交林带，由云南铁杉、高山栎、乔松等组成。最冷月平均气温 5℃ 的等温线位于海拔 2440 米，与山地亚热带常绿阔叶林带的上界 2500 米相近，其下是由铁椆、西藏桢楠等组成的常绿阔叶林。与这一界线相当的是 6—9 月平均气温 15℃ 等温线，海拔约 2580 米，可以认为是这类常绿阔叶林所需的起码的热量条件。往下在国境外则与尼泊尔、印度的低山热带季雨林带相接。

综上所述，可以把南翼湿润、半湿润高山峡谷区各垂直气候带所采用热量指标的相应海拔高度与自然带分布高度对比列于表 2。

北翼半干旱高原湖盆区的自然带迥异于南翼，这里自然带的界线不仅与热量有关，也与湿润状况密切相联。海拔 4,000 米以上广泛分布的高原草原属高原寒冷半干旱带，其上界在海拔 5,000 米左右，相当于最热月平均气温 6℃ 等温线（海拔约 5040 米）。在此以

1) 据 W. 柯本，这一界线变动于 9.0—10.5℃ 之间。在阿尔卑斯山脉的中、北部，森林上限变动于 8—12℃ 范围内。^[5]

2) 1966 年考察期间自达来玛桥（海拔 1,668 米）附近至聂拉木以北的朗弄拉（海拔 4,850 米），近 70 公里距离内，分别设置六个观测点。各点装置轻便百叶箱，在 1.5 米高度安放周记温度计和湿度计。在樟木（2,300 米）、曲乡（3,300 米）、聂拉木（3,750 米）等地住点时还用通风干湿球温度表进行观测校订，取得相同时段内气温和相对湿度等若干对比资料。

表 2 珠峰地区南翼垂直气候带热量指标与自然带分布高度对比
(以波曲谷地樟木—聂拉木地区为例)

垂直气候带	各 带 上 界		自 然 带	分 布 高 度 (海拔:米)
	热 量 指 标	相 应 高 度 (海 拔:米)		
高山冰雪带	—	—	高山冰雪带	5500 以上
高山寒冻带	最热月均温 2°C	5500	高山寒冻冰碛地衣带 高山寒冻草甸垫状植被带	5500—4700
亚高山寒带	最热月均温 6°C	4670	亚高山寒带灌丛草甸带	4700—3900
山地寒温带	最热月均温 10°C	3830	山地寒温带针叶林带	3900—3100
山地暖温带	最冷月均温 0°C	3180	山地暖温带针阔叶混交林带	3100—2500
山地亚热带	最冷月均温 5°C 6—9月均温 15°C	2440 2580	山地亚热带常绿阔叶林带	2500—(1600)

下,生长季较暖和,是农牧业生产活动集中的地区;往上则暖季中地面最低温度经常出现负值,昼夜的温度波动使土壤水分处于融冻交替之中,出发融冻、滑塌、泥流现象,植物也经常受寒冻的威胁。这里气温较低,其下界处,日均温 $\geq 5^{\circ}\text{C}$ 期间的干燥度为 0.4 左右,生长着低温中生的草甸植被并有较多适应于高山生态条件的垫状植物分布。向上至雪线(海拔 5800—6200 米,平均为 6000 米)处,最热月气温接近 0°C (变动于 1—2°C 上下)。北翼半干旱高原湖盆区的垂直气候带划分如下(表 3):

表 3 珠峰地区北翼垂直气候带指标与自然分带高度对比

垂 直 气 候 带	各 带 上 界		自 然 带	分 布 高 度 (海 拔:米)
	指 标	相 应 高 度 (海 拔:米)		
高 山 冰 雪 带	—	—	高山冰雪带	6000 以上
高 山 寒 冻 带	最热月均温 0°C	5960	高山寒冻冰碛地衣带 高山寒冻草甸垫状植被带	6000—5000
高原寒冷半干旱带	最热月均温 6°C 日均温 $\geq 0^{\circ}\text{C}$ 期间的干燥度约 0.4	5040	高原寒冷半干旱草原带	5000—4000

应当指出,垂直气候带的界线因地区不同而变化,如南翼卓姆曲谷地亚东帕里地区,高山寒冻带的下界较低,为海拔 4500 米;而山地寒温带的下界稍高,达 3200 米,相应地气温也就有 3—1°C 上下的差异。由于自然带的界线受多种因素的综合影响,带与带间有过渡和交错,且地区之间的干湿程度又对热量条件有一定影响,因此,所采用作为划带的热量指标有地区的局限性,要深入掌握垂直气候带与自然带间的相互关系,为开发利用各自然带提供足够的依据,尚有待于进一步的工作。

由于自然带类型外表的相似,通常习惯把山地垂直自然带和水平自然带相对照,但分析其热量、水分状况便可看出它们在性质上的差异。

以生长着常绿阔叶林的我国东部季风区亚热带与珠峰地区南翼山地亚热带为例进行对比。按中国气候区划提出的亚热带北界的指标是暖季(日均温 $\geq 10^{\circ}\text{C}$ 持续期间)积温 4500°C,最冷月气温 0°C 等值线,大致相当于无霜期 240 天等值线、年降水量 750 毫米等值线等¹⁾;而本地区南翼山地亚热带的上界(海拔 2500 米)处,最冷月平均气温 5°C,无霜

1) 中国科学院自然区划工作委员会:中国气候区划,1959 年。

期约 250 天，与亚热带北界的相应指标接近。这说明冷季的低温对亚热带（不论是垂直气候带还是水平气候带）一些主要植物种的限制作用是类似的，也表明用最冷月平均气温作为山地各森林带的划带指标是有一定依据的。但从暖季的热量来衡量则有显著差异，在南翼海拔 2500 米处，日均温 $\geq 10^{\circ}\text{C}$ 持续期间的积温只有 2400°C ，与亚热带北界的 4500°C 相差很大。这里 6—9 月平均气温约 15°C ，而位于亚热带北界的信阳（北纬 $32^{\circ}07'$ ，海拔 76 米）为 25.4°C ，相差竟达 10°C ！再如汉中盆地秦岭南坡生长少量柑桔的留坝（北纬 $33^{\circ}36'$ ，海拔 810 米），最热月平均气温 23.1°C ，6—9 月平均气温为 20.2°C ，而珠峰地区南翼山地亚热带的上界处最热月只有 $16—17^{\circ}\text{C}$ ，达来玛桥一带也不过 20°C 左右。可见山地亚热带暖季气温明显偏低，特别是日均温 $\geq 10^{\circ}\text{C}$ 持续期间的积温值较小，热量不足，使一些要求气温较高、喜温暖的作物（如柑桔）在这里未能种植生长；此外降水量、干燥度等也有较大不同，反映出水分状况的差别，所以不能把山地亚热带与低地亚热带等同起来。在开发利用各自然带时，必须注意这一特点，做到因地制宜。

4
年

三、南翼湿润、半湿润高山峡谷区各垂直气候带特征

（一）山地亚热带 海拔 1600—2500 米

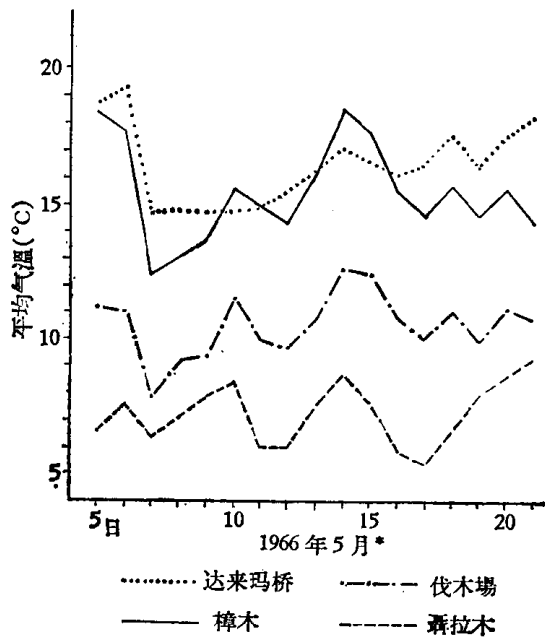
本带气候温暖，年平均气温超过 10°C ，最热月均温 $20—16^{\circ}\text{C}$ ，最冷月为 $10—5^{\circ}\text{C}$ 。一年中有五至八个月平均气温大于 10°C ，至达来玛桥附近几乎全年各月均在 10°C 以上，其

中有五个月大于 15°C 。日均温 $\geq 5^{\circ}\text{C}$ 期间的积温为 $5400—3400^{\circ}\text{C}$ ， $\geq 10^{\circ}\text{C}$ 期间的积温约 $5000—2400^{\circ}\text{C}$ ，无霜期约 250 天以上。这里冬季温和，基本上不下雪，很少结冰，土壤中没有冻层。

据观测，樟木七月平均气温达 17.3°C ，一月约 6.3°C ¹⁾，年较差达 11°C 。1966 年 5、6 月观测期间气温高达 29.1°C ，最低为 8.4°C 。达来玛桥附近地处深谷底部，日照时间较短，气温仅稍高于樟木，如 1966 年 5 月 4—21 日，达来玛桥平均气温 16.6°C ，樟木为 15.7°C 。（见图 3）

雨季期间因云量大，降水多，日照少，气温较低。以樟木 1966 年 5 月 5—8 日观测为例，说明雨天气温的降低，如表 4 所列。

再如 1966 年 6 月 12—22 日，樟木处于夏季风影响下，平均相对湿度达 86%，平均气



* 据野外临时测站资料。

图 3 珠峰地区小气候观测对比之一(气温)

1) 聂拉木林业站李昌恒提供的资料，观测天数较少，供参考。

表4 樟木晴天、雨天小气候观测对比(1966年)

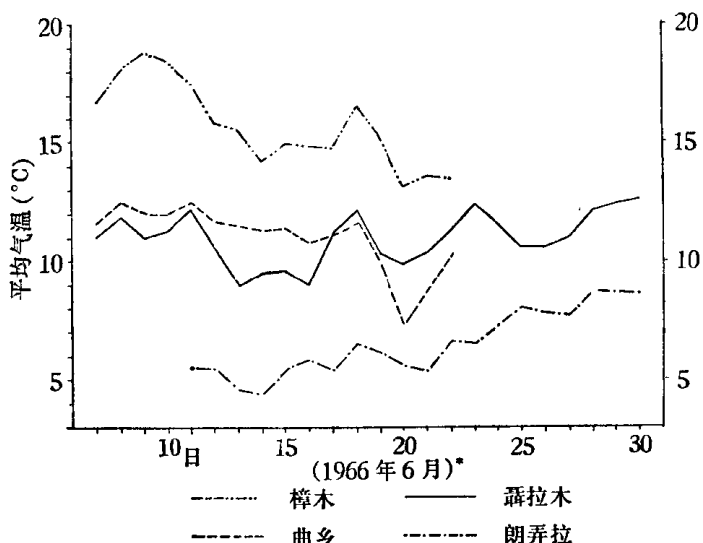
日期	天气	相对湿度(%)	平均气温(℃)	最高气温(℃)	平均日较差(℃)
5月5—6日	晴	42	18.0	27.6	14.4
5月7—8日	雨	78	12.8	18.0	7.6

温仅14.7℃，平均日较差9.3℃。但在此之前6月1—11日，平均相对湿度为72%，平均气温较高，达16.4℃，平均日较差为13.3℃。(见图4)

夏季风到达前后，相对湿度明显不同。以樟木为例，1966年5月4—31日，平均相对湿度达61%，与其北聂拉木的60%相近；至阴雨连绵的6月12—24日竟高达87%，而聂拉木仅为73%。(见图5)

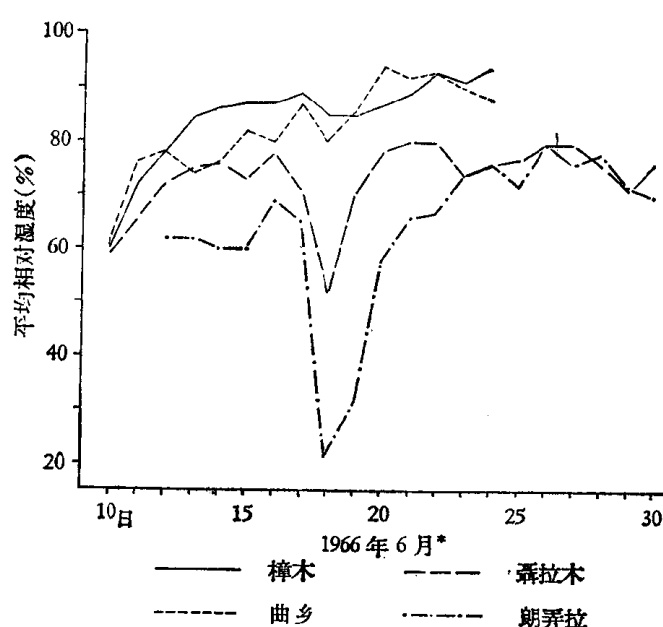
现将樟木等地小气候观测的部分资料列于表5，以资对照。

这里地处喜马拉雅主脉的南



* 据野外临时测站资料。

图4 珠峰地区小气候观测对比之二(平均气温)



* 据野外临时测站资料。

图5 珠峰地区小气候观测对比之三(相对湿度)

侧，对流雨、地形雨较发达，印度洋湿润气流带来的水汽在此形成大量降水。通常对流雨开始较早，夏季风到来之前的5月份已有较多降水，至6月中旬前后更是云雾弥漫、阴雨连绵，一直可延续至10月中旬。1968年6月21日—10月8日，樟木降水达2165毫米；自6月下旬至8月上旬每旬降水量均超过200毫米，其中7月降水量最大，达928毫米；夜间降水频繁，占观测期间总量的4/5；推算年降水量约2820毫米¹⁾。樟木附近日均温≥5℃期间的干燥度约0.2—0.3，属湿润地区。达来玛桥附近地处谷底，降水少于

1) 樟木、曲乡降水资料均据本队气象组，下同。

表 5 珠峰地区南翼我国境内波曲谷地小气候观测部分资料(1966年)

日期	平均气温(℃)					相对湿度(%)			日期	平均气温(℃)				相对湿度(%)			
	达来 玛桥	樟木	伐木 场	曲乡	聂拉 木	樟木	曲乡	聂拉 木		樟木	曲乡	聂拉 木	朗弄 拉	樟木	曲乡	聂拉 木	朗弄 拉
5月1日	—	—	—	—	6.2	—	—	40	6月1日	14.4	10.6	8.9	—	84	74	72	—
2	—	—	—	—	7.1	—	—	33	2	15.8	10.6	8.9	—	71	73	68	—
3	—	—	—	—	7.0	—	—	40	3	14.3	10.2	9.1	—	82	75	64	—
4	18.7	18.5	—	—	6.3	20	—	39	4	16.0	11.0	9.7	—	70	75	62	—
5	18.7	18.4	11.2	—	6.6	33	—	53	5	16.0	—	9.6	—	76	70	55	—
6	19.4	17.7	11.0	—	7.6	52	—	60	6	14.8	—	10.1	—	82	79	58	—
7	14.6	12.4	7.8	—	6.4	83	—	72	7	16.7	11.6	11.0	—	71	77	64	—
8	14.8	13.1	9.2	—	7.1	74	—	67	8	18.1	12.5	11.9	—	70	75	63	—
9	14.7	13.7	9.4	—	7.9	76	—	67	9	18.8	12.1	11.0	—	59	61	58	—
10	14.9	15.6	11.5	—	8.4	66	—	62	10	18.4	12.0	11.3	—	60	62	59	—
11	14.9	15.0	10.0	—	6.0	61	—	64	11	17.5	12.5	12.2	5.5	72	76	66	—
12	15.5	14.4	9.7	—	6.0	62	—	58	12	15.8	11.7	10.6	5.5	78	78	72	62
13	16.3	16.2	10.8	—	7.5	47	—	49	13	15.5	11.5	9.0	4.6	84	74	75	62
14	17.2	18.6	12.7	—	8.7	37	—	47	14	14.2	11.3	9.5	4.4	86	76	76	60
15	16.7	17.8	12.5	—	7.6	35	—	43	15	14.9	11.4	9.6	5.4	87	82	73	60
16	16.2	15.6	10.9	9.8	5.9	44	52	48	16	14.8	10.8	9.0	5.8	87	80	78	69
17	16.6	14.7	10.1	9.6	5.4	51	53	58	17	14.8	11.1	11.2	5.4	89	87	71	65
18	17.7	15.8	11.1	8.8	6.7	52	70	60	18	16.5	11.6	12.2	6.5	85	80	52	22
19	16.5	14.7	10.0	8.5	8.0	60	76	64	19	15.2	9.9	10.3	6.1	85	86	70	32
20	17.6	15.7	11.2	9.7	8.6	60	71	60	20	13.1	7.3	9.9	5.6	87	94	78	58
21	18.3	14.4	10.8	10.3	9.3	75	80	56	21	13.5	8.8	10.4	5.4	89	92	80	66
22	—	15.0	—	10.5	10.2	72	74	52	22	13.4	10.3	11.3	6.6	93	93	80	67
23	—	14.3	—	10.9	10.4	79	68	58	23	—	—	12.4	6.5	91	90	74	74
24	—	14.6	—	10.6	9.1	73	71	66	24	—	—	11.6	7.3	94	88	76	76
25	—	15.2	—	10.2	8.8	67	73	66	25	—	—	10.6	8.0	—	—	77	72
26	—	13.6	—	9.5	8.2	80	74	68	26	—	—	10.6	7.8	—	—	80	80
27	—	14.8	—	10.3	9.4	67	65	66	27	—	—	11.0	7.7	—	—	80	76
28	—	14.9	—	10.3	8.9	73	69	68	28	—	—	12.1	8.7	—	—	76	78
29	—	13.7	—	9.3	7.8	75	72	73	29	—	—	12.4	8.6	—	—	71	72
30	—	15.2	—	10.2	8.2	66	71	74	30	—	—	12.6	8.6	—	—	76	70
31	—	15.7	—	11.0	8.9	73	71	69									

樟木山坡,估计年降水量约2000毫米左右。对比尼泊尔的降水资料^[4,5,6],珠峰地区南翼最大降水带变动于海拔2000—3000米之间,樟木地区则在2300—2500米附近,与本带上段相当,年降水量多达2500—3000毫米左右。

吉隆河谷地自芒木(海拔2300米)以下,为峡谷地形,且受境外东西向山地阻隔,位于局地雨影区之中,年降水量较少,估计约1000毫米左右,因而和樟木地区分布的常绿阔叶林不同,生长着较耐干热的长叶松林,至1900米附近更出现反映干热谷地气候的霸王鞭浆质刺灌丛。

本带农作可一年两熟,但耕地较少。通常种植玉米、大麦、青稞,海拔较低(1900米以下)的山地,还可种稻和非洲黍。

(二) 山地暖温带 海拔 2500—3100 米

本带年平均气温约 10—7°C，最热月均温 16—14°C，最冷月为 5—0°C 左右。一年内有四、五个月的月平均气温大于 10°C，无霜期约 250—150 天，日均温 $\geq 5^{\circ}\text{C}$ 期间的积温为 3400—2100°C。这里 11—2 月下雪，积雪可达 30—100 厘米，但融化较快。

据聂拉木伐木场(海拔 3000 米)观测，1966 年 5 月 5—21 日平均气温 10.5°C，最高气温 19.8°C，最低为 5.3°C，平均日较差只有 8.5°C。亚东(海拔 2987 米)年平均气温 7.7°C，最热月 14.4°C，最冷月 0.2°C。11—3 月平均最低气温均小于 0°C，绝对最高气温 23.3°C，绝对最低气温 -20.6°C，绝对较差达 43.9°C。

亚东的气温、降水年变程如图 6 所示，可作为本带半湿润类型的一个代表。亚东年降水量 937 毫米(1933—1938 年)，年雨日有 105 天，自 4 月开始就有较多降水，4—9 月每月降水量均超过 100 毫米。另据记载，清代亚东设关时有三年雨量记录，平均年降水量 1448 毫米(57.01 小时)¹⁾。

本带降水量因所在谷地而不同，波曲谷地降水较多，年降水量约 2000—2500 毫米左右；西边的吉隆河谷地估计只有 1000—1500 毫米上下。吉隆地区降水集中于 6—9 月，雨季、干季比较分明。据访问，吉隆河谷地如嘎(海拔 3010 米)1967 年 6 月 12 日—9 月 30 日为雨季，很少晴天，但随后则缺雨、干旱。各河谷的气候差异也反映在自然带内类型的变化上，如亚东、吉隆以乔松林为主，樟木一带则以云南铁杉林占优势。

本带农作比较发达，吉隆地区可耕地较多，气候比较温暖，可以二年三熟，玉米种植上界达 3,000 米，而樟木一带只达 2,750 米，其他作物有小麦、青稞、荞麦等；吉隆地区还可种辣椒、西红柿、黄瓜等喜暖蔬菜。亚东地区种植苹果已有四、五十年历史，为在本带发展经济果木提供了好的经验。

(三) 山地寒温带 海拔 3100—3900 米

本带年平均气温约 7—2°C，最热月均温 14—10°C，最冷月 0—5°C 左右。一年内有一至四个月平均气温大于 10°C；平均气温 $<0^{\circ}\text{C}$ 的有一至五个月。无霜期 150—90 天不等，日均温 $\geq 5^{\circ}\text{C}$ 期间的积温约 2100—1100°C。10—5 月可降雪，积雪一般达 60—80 厘米，多者可达 150—200 厘米。土壤中有季节性冻层出现，据考察与访问在聂拉木自 10 月

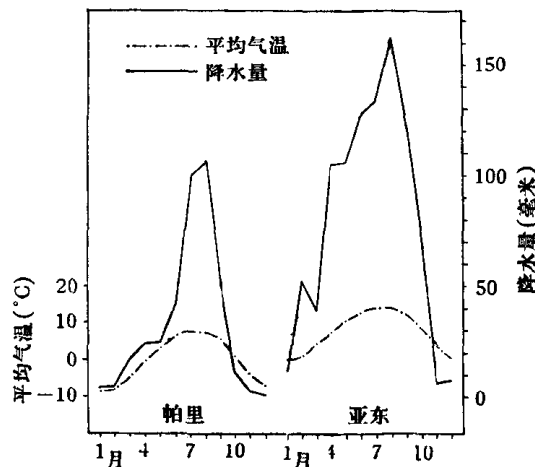


图 6 亚东、帕里气温降水年变程

1) 见 L. A. Waddell: *Lhasa and its mysteries*. 1929. p. 467.

中旬至 5 月下旬均可出现冻土，最大冻土深度达 41 厘米（1 月）。但由于暖季地温仍较高，有利于植物的生长发育。

本带处于最大降水带之上，降水大大减少，且各地差异较大，年降水量约 1500—500 毫米上下。据观测，1968 年 6 月 26 日—10 月 10 日，曲乡降水量为 1178 毫米，其中 7 月份降水最多，达 437 毫米，夜间降水约占 $4/5$ ，估计年降水量约 1450 毫米。曲乡一日最大降水量高达 85.7 毫米（1968 年 10 月 4 日），为本地区已有记录的最大值。聂拉木位置偏北，处于南、北翼的过渡地段，年降水量仅 554 毫米，但降水的季节分配较均匀，6—9 月占年降水量的 52%，11—4 月则有较多降雪。该地气温、降水年变程见图 6。

曲乡处于峡谷底部，雨季期间湿度大、日照少，气温偏低而日较差小。以 1966 年 6 月 12—22 日为例，曲乡平均相对湿度 84%，平均气温 10.5°C ，日较差为 7.5°C ；而比曲乡高的峡谷中上部，气温与相对湿度有所降低，日较差有所增大。本带平均年日照估计为 2000—2500 小时左右。

本带除聂拉木处于过渡地段农作物上界较高外，通常青稞等作物种植于海拔 3500 米以下，吉隆地区冬小麦种植上界达 3300 米，这与一般湿润地区农作物上界不超过森林上限的规律大致相符。

（四）亚高山寒带 海拔 3900—4700 米

森林上限往上，气候寒冷。本带年平均气温约 $2\text{---}2^{\circ}\text{C}$ ，最热月均温 $10\text{---}6^{\circ}\text{C}$ ，最冷月为 $-5\text{---}-10^{\circ}\text{C}$ 。一年中有五至七个月平均气温低于 0°C ，日均温 $\geqslant 5^{\circ}\text{C}$ 期间的积温 $1100\text{---}300^{\circ}\text{C}$ ，无霜期不足 90 天。

以帕里为例（见图 6），年平均气温 -0.1°C ，最热月均温 7.8°C ，最冷月 -8.6°C 。日均温 $\geqslant 0^{\circ}\text{C}$ 持续期间为 185 天，积温 996°C ；日均温 $\geqslant 5^{\circ}\text{C}$ 的持续期间为 114 天，积温 813°C 。平均无霜期只有 40—50 天。极端最高气温 18.3°C ，极端最低气温 -30.1°C ，结冰日数平均达 318 天。

这里雨季为 6—9 月，年降水量 350—600 毫米左右，雨日约 100—170 天。帕里年降水量 387 毫米，6—9 月占年降水量的 77%，一日最大降水量为 28.8 毫米（1958 年 8 月 2 日）。年蒸发量平均为 1560 毫米。帕里年平均相对湿度 66%，7—9 月平均大达 83%，12—1 月最小，只有 44%。由于气温低，除 6 月中旬至 8 月下旬外均可降雪，降雪日数约占年降水日数（165 天）的 $1/3$ 。此地最大积雪深度为 17 厘米，除最热月外，每日最低气温均可低于 0°C ，土壤中季节性冻层比较明显。

帕里一带冰雹较多，平均每年降雹日数约有 10 天，且多在生长季出现，加上无霜期短、气温较低等都是不利于农业生产的因素。但当地贫下中农发扬自力更生精神，自 1960 年以来连续多年战胜寒冻灾害获得较好收成，取得发展高寒农业的许多宝贵经验。

（五）高山寒冻带 海拔 4700—5500 米

本带位于雪线以下，年平均气温 $-2\text{---}-6^{\circ}\text{C}$ ，最热月均温约 $6\text{---}2^{\circ}\text{C}$ ，最冷月为

-10—-16℃。一年中有七至八个月平均气温低于0℃。生长季中最低气温通常都为负值或接近0℃，土壤水分处于昼夜融冻交替之中，形成本带特有的融冻现象，生长着耐寒的矮小草甸植物、垫状植物和多种地衣。

估计本带年降水量约400—700毫米左右或稍低，但云雾较多，比北翼同海拔处要湿润些。

海拔5500米以上则终年冰雪，是为高山冰雪带。

四、北翼半干旱高原湖盆区各垂直气候带特征

(一) 高原寒冷带 海拔4000—5000米

北翼高原大部分宽谷盆地及其周围的山地均在本带范围内。年平均气温3—4℃左右，最热月均温13—6℃，6—9月平均气温12—5℃，最冷月均温-5—-16℃。一年中有4—7个月平均气温低于0℃，无霜期约120—40天，日均温 $\geqslant 5^{\circ}\text{C}$ 期间的积温约2000—400℃。

以定日为例，年平均气温0.7℃，最热月均温10.9℃，最冷月为-11.2℃。日均温 $\geqslant 0^{\circ}\text{C}$ 期间的天数为195天，积温1421℃，日均温 $\geqslant 5^{\circ}\text{C}$ 期间的天数为137天，积温达1274℃，无霜期105天。定日、定日(协格尔)等地的气温降水年变程如图7所示。

定日月平均气温高于10℃的虽仅7、8两个月，但6—9月平均最高气温均超过15℃，平均最低气温则高于1℃，而40厘米深处的地温也都在10℃以上，这些都是有利于农作物生长的热量条件。

本带的显著特点之一是降水较少，一般年降水量为200—300毫米¹⁾。本带降水季节十分集中，6—9月约占年降水量的90—95%，比我国夏雨最集中的华北海河流域还大。年雨日

为40—80天。如定日年降水量225毫米，96%降于6—9月。所以虽然降水较少，但集中于生长季，有效程度较高，是有利于农牧业生产的另一条件。降雪较少，降雪日数仅为年降雨日数的1/10。

这一带空气比较干燥，定日年平均相对湿度为45%，降水最多的7、8月较高，可达68%；12—2月较低，只有30%。日均温 $\geqslant 5^{\circ}\text{C}$ 持续期间的干燥度为0.92，属半干旱类

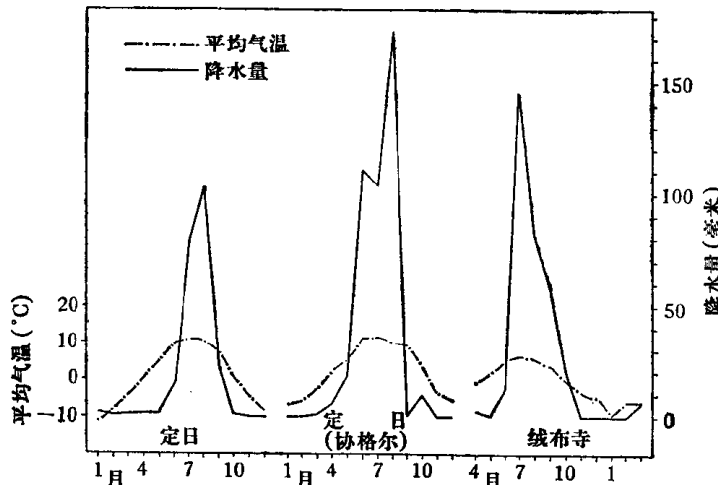


图7 定日、定日(协格尔)、绒布寺气温降水年变程

1) 定日(协格尔)1971年降水曾达422毫米。

型。

本带云量较少,年平均总云量约0.4左右,7、8月间可达8.0以上。年日照率较高,但7、8月较低,如定日年平均日照率高达77%,7、8月则低至53%,年日照时数达3393小时,与我国日照时数最多的新疆哈密地区相当。这里各月日照时数均在200小时以上,但年变程以夏半年雨季最低,这与较高纬度干旱区冬季最低正相对照。除个别地点如绒布寺(海拔5000米)因处谷地中遮蔽程度较大,年日照时数低至2565小时外,其余各地年日照可达3,000小时以上。

本带太阳辐射很强。1959—1960年在珠峰北麓绒布寺观测到太阳辐射的年总量接近200千卡/厘米²·年¹⁾,比同纬度的长沙(北纬28°15',海拔81米)的114千卡/厘米²·年大75%,较人们称为“太阳城”的拉萨(海拔3660米)仍高7%(均为1959—60年测值)。

高原上干季常刮大风,强度大,持续时间长,以偏西风为主,故又可称风季,而雨季则很少出现大风。如定日全年≥8级(即≥17米/秒)的大风日数达128日,6—9月雨季中仅占12%。更往高处或因河谷地形影响,风速还可增大。如绒布寺年平均风速达4.4米/秒(定日为2.6米/秒),6月风速更大达5.8米/秒。这可能是本带上段垫状植物较多的原因之一。

总之,本带气温虽较低,热量条件却仍有利于农作物生长,加上降水集中于生长季,日照比较丰富,所以本带4500米以下均有稳定的农业生产,农作物上界一般达4600米,可种植青稞、马铃薯、元根等作物。个别地点如聂拉木县扎金乡白马确丁(位于佩枯错以东),在海拔4740—4760米,自1957年试种青稞成功以来,种植面积逐年有所扩大。据现场观察,耕地开垦于三面环山的山凹内朝南山坡上,坡度12°,均用石块围成宽3米长约10米的坡田,是当地较暖和的地方。这是该地藏族群众利用背风向阳的局地小气候环境,经过多次试验而获得的结果。除青稞外,还成功地种植了白菜、萝卜和甜萝卜等。这是珠峰地区发现的粮食作物的最高上限,也是迄今所知世界上的最高耕地。

(二) 高山寒冻带 海拔5000—6000米

本带通常靠近极高山区,年平均气温-4—-10°C左右,最热月均温6—0°C,最冷月为-16—-22°C,一年中有七个月以上月均温低于0°C。日均温≥0°C持续期间的积温小于700°C,≥5°C积温小于400°C,干燥度约0.4左右。无霜期在40天以下。

珠峰北麓海拔5120米的短期资料,大体上可说明本带下段的部分情况。4、5月平均最高气温在0°C以下,平均最低气温则均为负值。如1960年5月,平均气温1.1°C,平均最高气温7.1°C,平均最低气温为-4.6°C。在绒布寺,7、8月间最低气温也可出现负值。所以本带在整个生长季中几乎每天都处于正负交替的气温变化之中,对这里的高山自然地理过程有明显的影响。

希夏邦马峰北麓的港井(海拔5015米)处于本带下界附近。最热月平均气温6.4°C,7、8月平均最低气温为1.4—2.0°C,气温经常摆动于0°C上下。如1961年逐日最低气温

1) 确切的数值为199.9千卡/厘米²·年,见《珠穆朗玛峰地区科学考察报告》——气候与太阳辐射。